

## Física IV – Poli – Engenharia Elétrica: 1ª Aula (05/08/2014)

Prof. Alvaro Vannucci

- Como vimos no semestre passado, as *Equações de Maxwell* se mostraram capazes de descrever todos os fenômenos elétricos e magnéticos até então conhecidos.
- Estas equações, na forma integral e diferencial são:

$$(1) \quad \oint \vec{D} \cdot d\vec{A} = q_{\text{int.}}^{\text{livre}} \quad \leftrightarrow \quad \nabla \cdot \vec{D} = \rho \quad (\text{Lei de Gauss})$$

$$(2) \quad \oint \vec{B} \cdot d\vec{A} = 0 \quad \leftrightarrow \quad \nabla \cdot \vec{B} = 0 \quad (\text{Lei de Gauss para o magnetismo})$$

$$(3) \quad \varepsilon = \oint \vec{E} \cdot d\vec{l} = -\frac{d\phi_M}{dt} \quad \leftrightarrow \quad \nabla \times \vec{E} = -\frac{\partial \vec{B}}{\partial t} \quad (\text{Lei de Faraday})$$

$$(4) \quad \oint \vec{H} \cdot d\vec{l} = I_{\text{enl}}^{\text{real}} + \varepsilon \frac{d\phi_E}{dt} \quad \leftrightarrow \quad \nabla \times \vec{H} = \vec{J} + \frac{\partial \vec{D}}{\partial t} \quad (\text{Lei de Ampère Generalizada})$$

$$\text{Sendo que } \vec{B} = \mu \vec{H}; \quad \vec{D} = \varepsilon \vec{E} \quad \text{e} \quad \vec{J} = \sigma \vec{E}.$$

- Vale também sempre lembrar, junto com as equações de Maxwell, a existência da equação da *força de Lorentz*:  $\vec{F} = q\vec{E} + q\vec{v} \times \vec{B}$ .
- Vimos que no vácuo não há fontes de carga ou corrente, ou seja,  $\rho = J = 0$ , de forma que as equações de Maxwell se resumem a:

$$(1) \quad \nabla \cdot \vec{E} = 0$$

$$(2) \quad \nabla \cdot \vec{B} = 0$$

$$(3) \quad \nabla \times \vec{E} = -\frac{\partial \vec{B}}{\partial t}$$

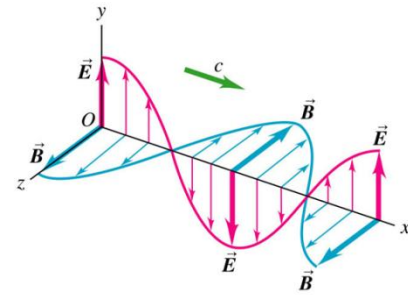
$$(4) \quad \nabla \times \vec{B} = \mu_0 \varepsilon_0 \frac{\partial \vec{E}}{\partial t}$$

- De onde obtemos as equações (diferenciais) de onda:

$$\nabla^2 \vec{E} - \varepsilon_0 \mu_0 \frac{\partial^2 \vec{E}}{\partial t^2} = 0 \quad \text{e} \quad \nabla^2 \vec{B} - \varepsilon_0 \mu_0 \frac{\partial^2 \vec{B}}{\partial t^2} = 0$$

- Cujas soluções são:

$$\begin{cases} \vec{E} = \vec{E}_0 \cos(\vec{K} \cdot \vec{r} - \omega t) \\ \vec{B} = \vec{B}_0 \cos(\vec{K} \cdot \vec{r} - \omega t) \end{cases} \text{ sendo que } \boxed{E = cB};$$



que correspondem a **ondas (planas) transversais**.

- Lembre que nas expressões acima:  $\boxed{K = \frac{2\pi}{\lambda}}$ ;  $\boxed{\lambda = \frac{c}{f}}$ ;  $\boxed{\omega = 2\pi f}$  e  $\boxed{c = \frac{1}{\sqrt{\epsilon_0 \mu_0}}}$

- Quando a onda eletromagnética propaga-se em um meio dielétrico, a sua velocidade é  $v$ , de forma que o “**índice de refração**” do meio será dado por:  $\boxed{n = c/v}$ .

- Em termos de energia transportada pela onda eletromagnética, vimos no curso anterior que ela era melhor descrita pelo **Vetor de Poynting**, dado por  $\boxed{\vec{S} = \vec{E} \times \vec{H}}$ ;

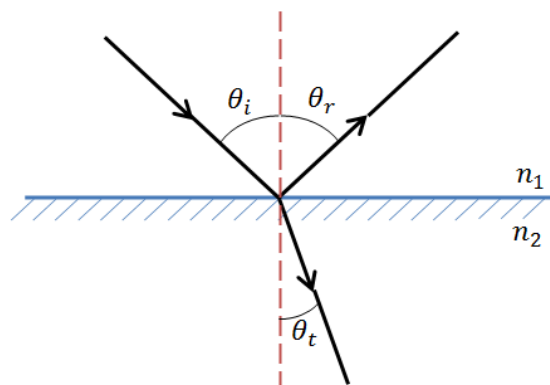
sendo que a **Intensidade** da onda é dada por:  $\boxed{I = \bar{S} = \frac{E^2}{2\mu_0 c}}$  (energia/tempo/área)

- Mas vimos também que a **densidade volumétrica de energia** ( $u$ ) da onda era dada por:

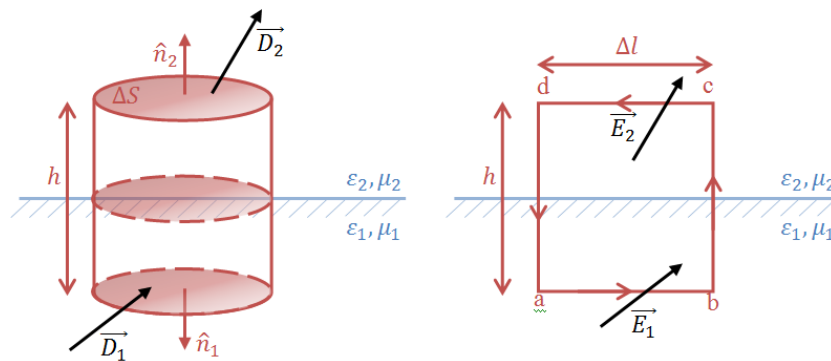
$$u = u_E + u_M = \epsilon_0 E^2 \quad \Rightarrow \quad U = \int u dV \quad (\text{energia total})$$

- Vamos iniciar o nosso curso investigando alguns fenômenos que envolvem as ondas eletromagnéticas que atingem a interface entre dois meios dielétricos (*ar-vidro*, por exemplo).

- Nesse contexto, será útil nos lembrarmos da **lei da reflexão** ( $\theta_i = \theta_r$ ) e da **lei de Snell** ( $n_1 \sin \theta_i = n_2 \sin \theta_t$ ).



- Estas leis, obtidas inicialmente de maneira puramente geométrica (através de experiências em laboratório) puderam ser deduzidas a partir das equações de Maxwell, demonstrando o poder destas equações.
- Para mostrarmos isto, é preciso inicialmente determinarmos as condições que precisam ser satisfeitas pelos campos elétrico e magnético da onda nos meios delimitados pela interface de separação.
- Estas chamadas **condições de contorno** para o campo elétrico ( $\vec{E}$  e  $\vec{D}$ ) são obtidas a partir das *Leis de Gauss* e *Lei de Faraday*, supondo uma superfície cilíndrica gaussiana e uma circuitação retangular bem próximas à interface ( $h \rightarrow 0$ ).



- Partindo da **Lei de Gauss** ( $\oint \vec{D} \cdot d\vec{A} = q_{\text{int}}^{\text{livre}}$ ),  $d\vec{A} = dA \hat{n}$  e aplicando-a na *pastilha cilíndrica* acima de área  $\Delta S$  e altura  $h$  (muito pequena):

$$\oint \vec{D} \cdot d\vec{A} = \int_{\text{superf superior}} \vec{D} \cdot d\vec{A} + \int_{\text{superf inferior}} \vec{D} \cdot d\vec{A} + \int_{\text{lateral}} \vec{D} \cdot d\vec{A} = D_{2\perp} \Delta S - D_{1\perp} \Delta S$$

= 0 (fluxo nulo para  $h \rightarrow 0$ )

$$q_{\text{int}}^{\text{livre}} = \int \sigma_{\text{livre}} dA = \sigma_{\text{livre}} \Delta S$$

- Portanto:  $D_{2\perp} \cancel{\Delta S} - D_{1\perp} \cancel{\Delta S} = \sigma_{\text{livre}} \cancel{\Delta S} \Rightarrow D_{2\perp} - D_{1\perp} = \sigma_{\text{livre}}$

- Quando não **houver cargas livres na interface**:

$$D_{2\perp} = D_{1\perp} \Rightarrow \frac{E_{2\perp}}{E_{1\perp}} = \frac{\epsilon_1}{\epsilon_2}$$

- Aplicando a **Lei de Faraday** na *circuitação abcd* (veja o desenho):

$$\epsilon = \oint \vec{E} \cdot d\vec{l} = -\frac{d\phi}{dt} = -\frac{d}{dt} \int \vec{B} \cdot d\vec{A}$$

fluxo = 0 no limite  $h \rightarrow 0$

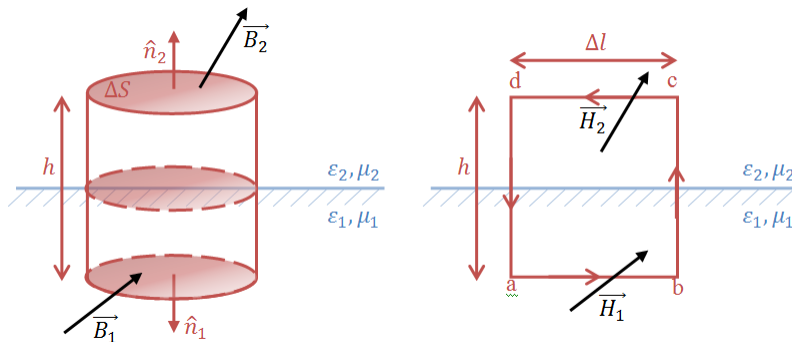
$$\Rightarrow \oint \vec{E} \cdot d\vec{l} = \int_a^b \vec{E} \cdot d\vec{l} + \underbrace{\int_b^c \vec{E} \cdot d\vec{l}}_{=0 \text{ (} h \rightarrow 0 \text{)}} + \int_c^d \vec{E} \cdot d\vec{l} + \underbrace{\int_d^a \vec{E} \cdot d\vec{l}}_{=0 \text{ (} h \rightarrow 0 \text{)}} = 0$$

$$\Rightarrow E_{1//} \Delta l - E_{2//} \Delta l = 0 \Rightarrow \boxed{E_{1//} = E_{2//}} \text{ (Sempre!!)}$$

$$\Downarrow$$

$$\boxed{\frac{D_{1//}}{D_{2//}} = \frac{\epsilon_1}{\epsilon_2}}$$

- Seguindo o mesmo procedimento para o campo magnético usando agora as outras duas equações de Maxwell:



- Usando que  $\oint \vec{B} \cdot d\vec{A} = 0$ :

$$-B_{1\perp} \Delta S + B_{2\perp} \Delta S = 0 \Rightarrow \boxed{B_{1\perp} = B_{2\perp}}$$

$$\Downarrow$$

$$\boxed{\frac{H_{1\perp}}{H_{2\perp}} = \frac{\mu_2}{\mu_1}}$$

- E da *Lei de Ampère*:

$$\oint \vec{H} \cdot d\vec{l} = I_{\text{enl}}^{\text{real}} + \underbrace{\epsilon \frac{d\phi_E}{dt}}_{\text{corrente de deslocamento}} ; \quad \text{sendo que: } \frac{d\phi_E}{dt} = \frac{d}{dt} \underbrace{\int \vec{E} \cdot d\vec{A}}_{\substack{\text{fluxo}=0 \\ \text{para } h \rightarrow 0}} = 0$$

$$\Rightarrow \text{Assim: } \oint \vec{H} \cdot d\vec{l} = \int_a^b \vec{H} \cdot d\vec{l} + \underbrace{\int_b^c \vec{H} \cdot d\vec{l}}_{=0 \text{ (} h \rightarrow 0 \text{)}} + \int_c^d \vec{H} \cdot d\vec{l} + \underbrace{\int_d^a \vec{H} \cdot d\vec{l}}_{=0 \text{ (} h \rightarrow 0 \text{)}} = I_{\text{enl}}^{\text{real}}$$

- Enquanto que a corrente enlaçada, na condição  $h \rightarrow 0$ , envolverá somente uma corrente superficial (real) que atravessa perpendicularmente a área delimitada pela circulação (K).

➤ Ou seja:

$$H_{1//} \cancel{\mathcal{A}} - H_{2//} \cancel{\mathcal{A}} = K \cancel{\mathcal{A}} \Rightarrow \boxed{H_{1//} - H_{2//} = K_{real}^{superf}}$$
$$\Downarrow$$
$$\boxed{\frac{B_{1//}}{\mu_1} - \frac{B_{2//}}{\mu_2} = K}$$

➤ Agora, na grande maioria dos materiais temos que  $\mu_1 \sim \mu_2 \sim \mu_0$  e quando  $\sigma = K = 0$ , temos que as condições de contorno dos campos elétrico e magnético a serem satisfeitas **na interface entre dois dielétricos** são:

$$\left\{ \begin{array}{l} \boxed{E_{1//} = E_{2//}} \\ \boxed{D_{1\perp} = D_{2\perp}} \\ \boxed{B_{1\perp} = B_{2\perp}} \\ H_{1//} = H_{2//} \Rightarrow \boxed{B_{1//} = B_{2//}} \end{array} \right.$$

➤ Na próxima aula, veremos o que ocorre com uma onda eletromagnética, ao incidir na interface entre dois meios dielétricos.